

碎波の物理過程に基づいた碎波帶内の拡散係数のモデル化

灘 岡 和 夫*・広瀬 文 人**

1. まえがき

近年、現地観測や室内実験の進展を背景として、碎波帶内の水理現象に関する理解が急速に深まりつつある。しかしこの中にあって、碎波帶内の拡散については、それが碎波帶内のダイナミクスを特徴づける基本的な要素の一つであるにもかかわらず、これまでのところ、ごく初步的な取り扱いが行われているにすぎない。

例えば、海浜流の水平混合項の評価には通常、勾配拡散型のモデルが用いられているが、その場合の運動量拡散係数の表現としては、Thornton¹⁾ や Jonsson ら²⁾に見られるように、拡散係数を構成する [速度] と [長さ] のスケールに波による軌道流速や軌道直径等を単純に当てはめているものがほとんどである。この場合に基本的に問題になるのは、このような物理量が碎波帶内における拡散の実際の坦い手である碎波による乱れの効果を直接表現していないという点が挙げられる。

一方、Longuet-Higgins³⁾ は、通常の壁面乱流に関する混合距離理論を形式的にそのまま持ち込み、汀線を一種の壁面と見たてて、拡散の長さスケールが汀線からの距離に比例するとして取り扱っている。しかしそうすると例えば bar 地形において汀線近くで波が再生するような場合や、離岸堤などの海岸構造物すなわち他の固定境界が存在するような実際的な場合の海浜流計算において問題が生じてくる。

これに対して Battjes⁴⁾ は、拡散係数の速度スケールを碎波による波のエネルギー散逸率から求め、長さスケールとして碎波による乱れが及ぶ深さをとっている。このような取り扱いは、碎波の効果を拡散係数の見積もりに直接反映させたものとして評価でき、その意味で従来の拡散係数の提案式の中では最も信頼しうるものであると考えられる。しかしこの場合においても、碎波による乱れがどのようなプロセスを経て実際の拡散となつて現れてくるのかといった具体的な拡散の物理機構については触れておらず、通常の定常乱流での取り扱いがそのまま準用された形になっている。

最近、著者ら⁵⁾は、室内実験で得られた流速データの解析とモンテカルロ法を用いた拡散の数値シミュレーションにより、① 碎波帶内における水粒子の一周期間の平均移動距離の鉛直分布は上層で波の進行方向に大きく傾いた形となり、それが碎波帶内の拡散過程に支配的な役割を果たすこと (shear 効果)、② それは主として、碎波に伴つて生じた組織的大規模渦による渦度流速成分の存在によって生じること、などを明らかにしている。そこで本研究では、このような碎波帶内での拡散のメカニズムをその本質をそこなわない範囲で簡略化しモデル化することを通じて、碎波の物理過程を反映した形の拡散係数を導出することを試みた。

2. 碎波帶内の拡散に対する shear 効果

ここでは上述のように碎波の効果を反映させた形での拡散係数を導出することを目的としているので、まず、これまで著者等によって行われた碎波帶内の乱流構造の実態やそれと拡散過程との関連についての研究結果^{5)~8)}をここで簡単に要約しておく。

① 碎波帶内の流速場は、次のような組織的大規模渦構造の存在によって特徴づけられる。すなわち、bore の crest 下部には波峯線に平行な水平軸を持つ二次元性が強い『水平渦』が存在するが、bore 後方では渦構造がかなり三次元性を帯びるようになり、その渦塊は bore の進行に伴つて stretch され bore の進行方向に傾いた軸を持つ『斜降渦』へと発達していく。このような大規模渦の存在により、上層での岸向き質量フラックスは、非碎波の場合に比べてかなり大きくなる^{6),7)}。

② 染料を瞬間鉛直線源として注入した拡散実験により、上述の大規模渦が碎波帶内における拡散過程に対して支配的な役割を果たすことが示された。すなわち、i) 上層に注入された染料は、『水平渦』の作用により全体として岸向きに移流されるとともに急激に岸沖方向に拡散する。『斜降渦』は染料を下層に向けて拡散させる役目を果し、約一周期後には底面付近にまでかなりの染料が拡がる。ii) 一方、下層に注入された染料は戻り流れによって全体として沖向きに移流され、その回りに若干の拡散を示すものの、その拡散幅は上層のそれに比べて

* 正会員 工博 東京工業大学助教授 工学部土木工学科

** 学生員 東京工業大学 大学院

1オーダー以上小さい⁶⁾。

③ 二成分光ファイバー流速計によって得られている位相平均オイラー流速記録⁷⁾を時間に関して数値積分することにより、水粒子の平均的なラグランジュ的挙動を定量的に調べた結果、水粒子の一周期間の平均移動距離の鉛直分布は上層で波の進行方向に大きく傾いた形になることが示された⁵⁾（図-1）。これは、染料による拡散の可視化実験で見られた特徴と一致する。

④ 著者らが先に示した、オイラー流速場をポテンシャル成分と渦度成分に分離する方法に基づいて水粒子の移動距離の成分分離を行った結果、上述の水粒子の平均移動距離の鉛直分布形は、主として渦度成分の存在によって生じるものであることが明らかにされた⁵⁾（図-1）。

⑤ 上述の染料による拡散実験結果と水粒子の平均移動距離に関する計算結果に基づいて水粒子の一周期後の遷移確率密度をモデル化し、モンテ・カルロ法によって拡散過程をシミュレートすることにより、碎波帶内の水平移流分散特性を検討した。その結果、水粒子の平均移動距離の鉛直分布形が岸向きに大きく傾くことが碎波帶内の水平移流分散過程に及ぼす効果（『shear効果』）は、支配的な重要性を持つことが明らかにされた⁵⁾。

このように、碎波によって生成される大規模渦は、上層における急激な岸沖方向拡散の直接の原因となるが、それと同時に、大規模渦に伴って生じた多量の渦度の存在により上層にかなり大きな岸向き質量フックスが発生し、それによって水粒子の平均水平移動距離の鉛直分布は波の進行方向に大きく傾くことになる。その結果、開水路流や管路流での拡散に支配的な役割を果すshear効果が碎波帶内の拡散過程においても重要な役割を果すことになる。

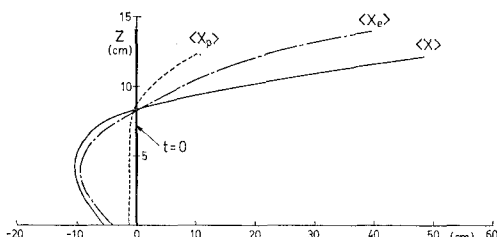


図-1 水粒子の一周期間の移動距離 $\langle X \rangle$ の計算値とその成分分離結果 ($\langle X_p \rangle$: ポテンシャル成分, $\langle X_e \rangle$: 渦度成分)

3. shear効果に着目した拡散係数の導出

上述のように、碎波帶内の拡散過程においては shear効果が本質的に重要な役割を果していると考えられるので、ここではこの shear効果に着目した解析を行なう。そのためには水粒子の平均移動距離の算定モデルが必要となるが、上記の④項によれば、水粒子の平均移動距

離の鉛直分布形は主として渦度流速成分の存在によって決まるので、shear効果の導入は、けっこうこの渦度流速成分の算定モデルが基本となる。

（1）渦度の収支から見た定式化

まず、ここでは対象となる場を図-2に示すような一定水深の帶状領域に簡略化して取り扱う。また、ここでは碎波変形が十分緩やかな領域を対象にすることとし、また、現象をとらえやすくするために local な波速 C で波とともに移動する系から見るものとすれば、現象は準定常と見なせ、空間的には local な波長 L で周期的に変化する場となる。

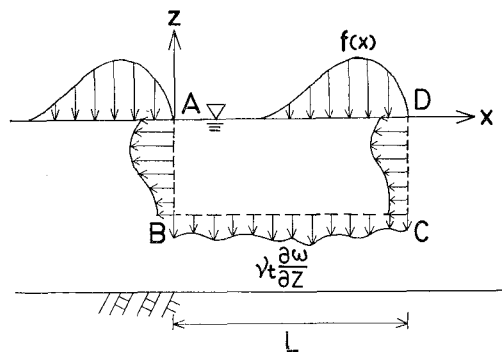


図-2 渦度の収支

そこで、図-2に示すような形で検査面 ABCD をとって定常状態の渦度 ω の収支を考える。まず、 \overline{AB} と \overline{CD} を通過する渦度フックスは、仮定した場の準周期性によりほぼ等しいと置けるので相殺されると考えてよい。一方、 \overline{AD} 間の全渦度フックスは、碎波により水表面から供給される渦度フックスを $f(x)$ とすれば、

$$\int_0^L f(x) dx \quad \dots \dots \dots \quad (1)$$

であり、 \overline{BC} 間の全渦度フックスは、渦度の鉛直方向輸送が勾配拡散型で記述できるものとすれば、 ν_t を渦度の鉛直拡散係数として次のように表わされる。

$$\int_0^L \nu_t(x, z) \cdot \frac{\partial \omega}{\partial z} dx \quad \dots \dots \dots \quad (2)$$

これらは、定常状態を考えていることから互いに等しくなければならない。すなわち、

$$\int_0^L \nu_t(x, z) \cdot \frac{\partial \omega}{\partial z} dx = \int_0^L f(x) dx \quad \dots \dots \dots \quad (3)$$

ここで、上式の左辺を次のように近似する。

$$\int_0^L \nu_t(x, z) \frac{\partial}{\partial z} \omega(x, z) dx \cong \bar{\nu}_t(z) \frac{\partial}{\partial z} \int_0^L \omega(x, z) dx \quad \dots \dots \dots \quad (4)$$

ただし、

$$\bar{\nu}_t(z) = \frac{1}{L} \int_0^L \nu_t(x, z) dx \quad \dots \dots \dots \quad (5)$$

また、次式で定義される $\bar{\omega}$, \bar{f} を導入する。

開を行った。特に、ここでは、これまでの著者らの研究によりその重要性が明らかにされている shear 効果を拡散係数の導出過程に取り込むことに主眼を置き、そのための碎波による渦度の供給過程のモデル化等を行った。これらのモデル化に当っては、碎波による渦度の生成に起因する shear 効果の出現という現象の本質をそこなわない範囲で数多くの簡略化を行っている(特に \bar{r}_t の見積もり等)。その意味では今後さらに定量的な検討を加えた上で、細部の修正を行う必要もあると考えられる。

なお、ここでは shear 効果をもたらす水粒子の平均水平移動距離の鉛直分布を簡単のため碎波に基づく渦度流速成分のみによって評価しているので、碎波帯外では $K_x=0$ となる形になっている。しかし、実際には、非碎波の場合でもいわゆる質量輸送速度の鉛直分布の存在によって、物質あるいは運動量の岸沖方向混合が生じると考えられる。この点や、ここで示した拡散係数が適用できる拡散の時間スケールや空間スケールの問題等については別の機会に述べるつもりである。

最後に、本研究は文部省科学研究費(奨励研究(A))の援助を受けて行ったものであることを付記しておく。

参考文献

- 1) Thornton, E. B.: Variation of longshore current

- across the surf zone, Proc. 12th Conf. on Coastal Eng., ASCE, pp. 291~308, 1970.
- 2) Jonsson, I. G., Skovgaard, O. and Jacobsen, T. S.: Computation of longshore currents, Proc. 14th Conf. on Coastal Eng., ASCE, pp. 699~714, 1974.
- 3) Longuet-Higgins, M. S.: Longshore currents generated by obliquely incident sea waves, 1, 2, J. Geophys. Res., Vol. 75, No. 33, pp. 6778~6801, 1970.
- 4) Battjes, J. A.: Modeling of turbulence in the surf zone, Proc. Sympo. on Modeling Techniques, ASCE, pp. 1050~1061, 1975.
- 5) 濑岡和夫・日野幹雄・広瀬文人: 碎波帶内における水粒子拡散のメカニズムについて, 第30回水理講演会論文集, pp. 757~762, 1986.
- 6) 日野幹雄・瀬岡和夫・小俣篤: 碎波帶内の乱れの組織的渦構造と水粒子運動について, 第31回海岸工学講演会論文集, pp. 1~5, 1984.
- 7) 瀬岡和夫・小谷野喜二・日野幹雄: 二成分光ファイバー流速計を用いた碎波帶内流速場の特性の解明, 第32回海岸工学講演会論文集, pp. 50~54, 1985.
- 8) 日野幹雄・瀬岡和夫・小谷野喜二: 崩れつつ進行する波のポテンシャル成分と渦度成分の分離方法について, 第32回海岸工学講演会論文集, pp. 55~59, 1985.
- 9) 日野幹雄・山崎丈夫: 波による鉛直板よりの渦の形成とエネルギー逸散, 第18回海岸工学講演会論文集, pp. 61~65, 1971.
- 10) Taylor, G. I.: The dispersion of matter in turbulent flow through a pipe. Proc. Royal Soc. London, Ser. A, Vol. 223, pp. 446~468, 1954.
- 11) Elder, J. W.: The dispersion of marked fluid in turbulent shear flow, J. Fluid Mech., pp. 544~560, 1959.